

УДК 528.022.3

*И. С. ТРЕВОГО*

## МЕТОД УЧЕТА ОТКЛОНЕНИЯ ПУНКТОВ ОТ ТРАССЫ ПРИ ВЫНОСЕ В НАТУРУ ВЫСОКОВОЛЬТНОЙ ЛИНИИ ЭЛЕКТРОПЕРЕДАЧИ

При выносе в натуру проекта воздушной высоковольтной линии электропередачи (ВЛ) наблюдаются случаи отклонения трассы от намеченного направления. Часто эти отклонения преднамеренные, они вызваны необходимостью обхода препятствий, возникающих на трассе

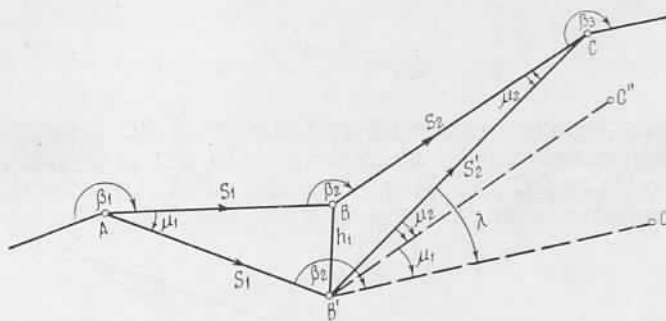


Рис. 1. Схема трассы ВЛ на участке отклонения.

ВЛ уже после проведения топогеодезических изысканий. Подобные случаи приводят к повторным геодезическим работам. Однако при благоприятных условиях последнего можно избежать, если рассчитать и ввести поправки в углы поворота трассы. Разумеется, речь может идти о тех отклонениях, при которых: а) смещение трассы не вызовет существенного изменения профиля; б) не произойдет недопустимого нарушения габаритов трассы при ее пересечении с инженерными сооружениями; в) не нарушатся требования инструкции о допустимом сближении ВЛ с постройками, местными предметами, дорогами и прочими объектами. А в практике случаи, удовлетворяющие перечисленным требованиям, довольно часты.

На рис. 1 изображен участок трассы ВЛ. Мы дадим вывод формул, чтобы рассчитать величины поправок для наиболее общего случая, когда между пунктами  $A$  и  $B$ ,  $B$  и  $C$  нет видимости. Примем, что у вершин  $A$ ,  $B$  и  $C$  измерены левые углы  $\beta_1$ ;  $\beta_2$ ;  $\beta_3$ . Пусть при выносе в натуру трассы в точке  $A$  произошло угловое отклонение на величину  $\mu_1$ , вследствие чего точка  $B$  сместилась в положение  $B'$ . При этом  $AB = AB' = S_1$ . Если далее отложить в точке  $B'$  угол  $\beta_2$  и продолжить разбивку, то точка  $C$  сместится в положение  $C'$ . В данном случае можно обойтись без переразбивки трассы. Для этого, убедившись, что линии  $AB'$  и  $B'C'$  удовлетворяют трем упомянутым выше условиям, определим поправку  $\lambda$  в угол  $\beta_2$  и, не сходя с точки  $B'$ , продолжим разбивку ВЛ. После достижения точки  $C$  изменим угол  $\beta_3$  на величину погрешности  $\mu_2$  и таким образом выйдем на заданное направление.

Рассмотрим подробно вывод формул для поправок. Как видно из рис. 1,

$$\beta_2' = \beta_2 - \lambda, \quad (1)$$

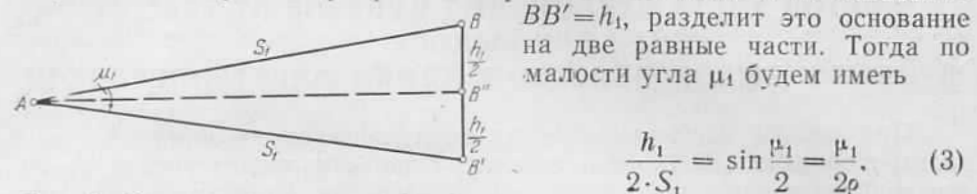
где  $\lambda = \mu_1 + \mu_2$  — суммарная угловая поправка.

Исправленный угол  $\beta_2'$  при вершине  $C$  найдем по формуле

$$\beta_2' = \beta_2 + \mu_2. \quad (2)$$

Для определения величины  $\mu_1$  рассмотрим треугольник  $AB'B$ , показанный на рис. 2.

Поскольку по условию  $AB'$  равно  $AB$ , то треугольник  $ABB'$  равнобедренный, и перпендикуляр  $BB''$ , опущенный из точки  $A$  на основание



$BB' = h_1$ , разделит это основание на две равные части. Тогда по малости угла  $\mu_1$  будем иметь

$$\frac{h_1}{2 \cdot S_1} = \sin \frac{\mu_1}{2} = \frac{\mu_1}{2\rho}, \quad (3)$$

Рис. 2. К определению поправки  $\mu_1$ .

Отсюда

$$\mu_1 = \frac{h_1 \cdot \rho}{S_1}. \quad (4)$$

Рассмотрим неравнобедренный треугольник  $B'BC$  (рис. 3). Опустим из точки  $B$  перпендикуляр  $h_2'$  на  $B'C = S_2'$ . По малости угла  $\mu_2$  можно допустить, что  $KC \approx BC \approx S_2$  и  $\Delta S \approx \Delta S' \approx B'K$ . Отрезок  $\Delta S$  следует измерять и учитывать при разбивке центров опор ВЛ.

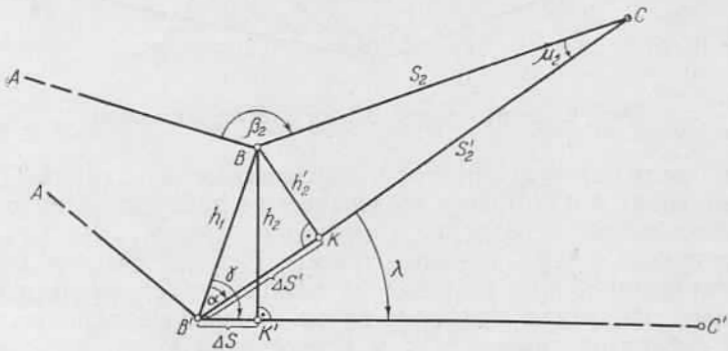


Рис. 3. К определению величин  $\mu_2$ ,  $\Delta h$ ,  $(\Delta S' - \Delta S)$ .

Величину  $\mu_2$  определим из прямоугольного треугольника  $BKC$ , для которого имеем

$$\sin \mu_2 = \frac{h_2'}{S_2}, \quad \text{или} \quad \mu_2' = \frac{h_2 \cdot \rho'}{S_2}. \quad (5)$$

Однако в натуре измерить длины отрезка  $\Delta S'$  и перпендикуляра  $h_2'$ , опущенного из точки  $B$  на направление  $B'C$ , нет возможности, поскольку, не зная поправки  $\lambda$ , нельзя получить исправленное направление  $B'C$ . Вместо перпендикуляра  $h_2'$  мы найдем перпендикуляр  $h_2$ , опущенный из точки  $B$  на направление  $B'C'$ . Аналогично этому вместо  $\Delta S' = B'K$  получим  $\Delta S = B'K'$ . Направление  $B'C'$  определим, откладывая в точке  $B$  известный угол.

Покажем вначале, что величина  $h_2'$  не отличается существенно от  $h_2$  и установим, в каких случаях их разница не окажет влияния на точность определения  $\mu_2$ .

Обратимся к рис. 3, из которого следует

$$h_2' = h_1 \sin \alpha \text{ и } h_2 = h_1 \sin \gamma. \quad (6)$$

Для погрешности  $\Delta h$  с учетом (6) будем иметь

$$\Delta h = h_2 - h_2' = h_1 (\sin \gamma - \sin \alpha) = 2h_1 \left( \sin \frac{\gamma - \alpha}{2} \cdot \cos \frac{\gamma + \alpha}{2} \right).$$

Но  $\gamma - \alpha \approx \lambda$ , поэтому при малом  $\lambda$

$$\Delta h = \frac{h_1 \cdot \lambda'}{\rho'} \cdot \cos \frac{\gamma + \alpha}{2}. \quad (7)$$

Если  $\beta_2 = 120^\circ$  (минимальный угол поворота трассы ВЛ), то, полагая, что угол  $AB'B \approx 90^\circ$ , получаем  $\alpha \approx 120^\circ - 90^\circ \approx 30^\circ$  и  $\frac{\gamma + \alpha}{2} \geq 30^\circ$ .

Значит, при  $\cos \alpha_{\min} = \cos 30^\circ = 0,87$  разность  $\Delta h$  примет максимальное значение

$$\Delta h_{\max} = \frac{0,87 \cdot h_1 \cdot \lambda'}{\rho'} . \quad (8)$$

Легко понять, что при  $\beta_2 \rightarrow 180^\circ$ ,  $\frac{\gamma + \alpha}{2} \rightarrow 90^\circ$  и по малости величин  $h_1$  и  $\lambda$  в (7) разность  $\Delta h \rightarrow 0$ .

Вынос ВЛ в натуру выполняется с помощью теодолитов точностью  $30''$ , в связи с этим поправки  $\mu_1$  и  $\mu_2$  достаточно знать с ошибкой  $\Delta \mu$  до  $0',5$ . Отсюда, пользуясь формулой (9), можно рассчитать, с какой погрешностью  $\Delta h$  достаточно измерять  $h_2$ ,

$$\Delta h = \frac{\Delta \mu' \cdot S_2}{\rho'} . \quad (9)$$

Теперь выведем формулу для расчета максимально допустимого отклонения  $h_1$  от оси трассы. Для этого приравняем правые части равенства (7) и (9)

$$h_1 = \frac{\Delta \mu \cdot S_2}{\lambda \cdot \cos \frac{(\gamma + \alpha)}{2}} . \quad (10)$$

Здесь  $\lambda$  — суммарная поправка, выражение для которой с учетом формул (4), (5) и при допущении  $h_2' \approx h_2$  имеет вид

$$\lambda = \mu_1 + \mu_2 = \frac{h_1 \rho'}{S_1} + \frac{h_2 \rho'}{S_2} . \quad (11)$$

Допуская, что  $\gamma \approx \beta_2 - 90^\circ$ , находим выражение для  $h_2$

$$h_2 = h_1 \cdot \sin(\beta_2 - 90^\circ), \quad (11a)$$

и, подставляя (11a) в (11), получаем выражение для  $\lambda$ :

$$\lambda = \frac{h_1 \cdot \rho}{S_1} + \frac{h_1 \cdot \sin(\beta_2 - 90^\circ)}{S_2} = \frac{h_1 \cdot \rho \cdot [S_2 + S_1 \cdot \cos \beta_2]}{S_1 \cdot S_2} . \quad (12)$$

Допуская, что  $\gamma \approx \alpha = \beta_2 - 90^\circ$ , и с учетом (12) найдем по (10) выражение для расчета максимального значения отклонения  $h_1$ :

$$h_{1 \max} = \sqrt{\frac{\Delta \mu \cdot S_2^2 \cdot S_1}{\rho \cdot [S_2 + S_1 \cdot \cos \beta_2] \cdot \sin \beta_2}} . \quad (13)$$

Сделаем расчет  $h_{1\max}$  для наиболее неблагоприятного случая, когда  $\beta_2=120^\circ$ ;  $S_1=S_2=500$  м (случай  $S < 500$  м в практике редки)  $\Delta\mu=0', 5$ ,

$$h_{1\max} = \sqrt{\frac{0,5 \cdot 250 \cdot 10^3 \cdot 500}{3438 \cdot (500 + 500 \cdot 0,5) \cdot 0,5 \cdot \sqrt{3}}} = \pm 5,3 \text{ м.}$$

Очевидно, что величина  $h_{1\max}$  будет расти с увеличением сторон  $S_1$ ,  $S_2$  и угла  $\beta_2$ . Уже при  $S_1=S_2=2000$  м и  $\beta_2=150^\circ$   $h_{1\max}=22$  м. Таких больших отклонений, как правило, не наблюдается.

Автор рекомендует рассчитывать предельные величины  $h_{1\max}$ , пользуясь табл. 1, составленной по аргументам  $S_1$  и  $S_2$  для разных значений углов  $\beta_2$ .

Таблица 1  
Величины  $h_{1\max}$ , м

$S_1$ , км	$S_2$ , км									
	0,5   1,0   2,0   5,0   0,5					1,0   2,0   0,5   1,0			0,5   1,0	
	$\beta_2=120^\circ 00'$					$\beta_2=160^\circ 00'$			$\beta_2=175^\circ 00'$	
0,5	5,3	8,2	12,2	20,0	7,4	12,0	18,6	14,5	23,6	
1,0	6,5	10,5	16,3	27,6	8,6	14,8	24,1	16,7	28,9	
2,0	7,5	12,9	21,1	37,3	9,5	17,2	29,7	18,2	33,3	
5,0	8,3	15,5	27,2	52,8	10,1	19,4	35,8	19,5	36,9	
10,0	8,7	16,7	30,0	65,4	10,2	20,3	38,7	19,8	38,9	
	$\beta_2=140^\circ 00'$					$\beta_2=170^\circ 00'$			$\beta_2=179^\circ 00'$	
0,5	5,7	9,0	13,4	23,0	10,2	16,8	25,8	32,2	52,7	
1,0	6,6	11,3	18,1	31,4	11,9	20,7	33,5	37,3	64,6	
2,0	7,5	13,4	22,6	41,7	13,0	23,8	41,1	40,9	74,6	
5,0	8,1	15,3	27,9	56,6	13,9	26,6	49,4	43,5	83,3	
10,0	8,3	16,2	30,6	91,7	14,3	27,9	53,3	44,5	87,1	

На основании рис. 3 найдем разность отрезков  $\Delta S' - \Delta S$  для неблагоприятного случая ( $\beta_2=120^\circ$ ;  $S_1=S_2=500$  м;  $h_1=5,3$  м;  $\lambda=52'$ ;  $\gamma=30^\circ 17'$ ;  $a=29^\circ 25'$ )

$$\Delta S' - \Delta S = h_1 \cos a - h_1 \cos \gamma = 5,3 \cdot 0,871 - 5,3 \cdot 0,864 = 0,037 \text{ м.}$$

Эта величина дает относительную погрешность 1 : 12500 длины  $S_2'$  при требуемой точности линейных измерений 1 : 2000. Таким образом, ее можно пренебречь и распределять в длины пролетов только погрешность  $\Delta S$ .

Окончательно выражения для исправленных углов будем иметь, подставив значения  $\mu_1$  и  $\lambda$  из (4) и (11) в (1) и (2)

$$\left. \begin{aligned} \beta_2' &= \beta_2 - \lambda = \beta_2 - E_1 h_1 - E_2 h_2; \\ \beta_3' &= \beta_3 + \mu_2 = \beta_3 + E_2 h_2, \end{aligned} \right\} \quad (14)$$

где  $E_1=\rho:S_1$  и  $E_2=\rho:S_2$  выбираются из табл. 2 по аргументу  $S$ . Для получения коэффициента  $E$  при  $S > 5000$  м следует брать табличное значение  $E$  при  $0,5S$  и делить результат на 2.

Выражения (14) являются рабочими формулами для случая левых углов поворота трассы и правого отклонения от ее оси или для правых углов поворота трассы и левого отклонения. Для случая левых углов поворота и левого отклонения или правых углов поворота и правого отклонения имеем

$$\left. \begin{aligned} \beta_2' &= \beta_2 + \lambda = \beta_2 + E_1 \cdot h_1 + E_2 \cdot h_2; \\ \beta_3' &= \beta_3 - \mu_2 = \beta_3 - E_2 h_2, \end{aligned} \right\} \quad (15)$$

Таблица 2

Коэффициенты  $E$ 

$S, м$	$E$	$S, м$	$E$	$S, м$	$E$	$S, м$	$E$	$S, м$	$E$
500	6,88	1000	3,44	1500	2,29	2000	1,72	3000	1,15
525	6,55	1025	3,35	1525	2,25	2050	1,68	3100	1,11
550	6,25	1050	3,27	1550	2,22	2100	1,64	3200	1,07
575	5,98	1075	3,20	1575	2,18	2150	1,60	3300	1,04
600	5,73	1100	3,13	1600	2,15	2200	1,56	3400	1,01
625	5,50	1125	3,06	1625	2,12	2250	1,53	3500	0,98
650	5,29	1150	2,99	1650	2,08	2300	1,50	3600	0,96
675	5,09	1175	2,92	1675	2,05	2350	1,46	3700	0,93
700	4,91	1200	2,86	1700	2,02	2400	1,43	3800	0,90
725	4,74	1225	2,81	1725	1,99	2450	1,40	3900	0,88
750	4,58	1250	2,75	1750	1,96	2500	1,38	4000	0,86
775	4,44	1275	2,70	1775	1,94	2550	1,35	4100	0,84
800	4,30	1300	2,64	1800	1,91	2600	1,32	4200	0,82
825	4,17	1325	2,60	1825	1,88	2650	1,30	4300	0,80
850	4,04	1350	2,55	1850	1,86	2700	1,27	4400	0,78
875	3,93	1375	2,50	1875	1,83	2750	1,25	4500	0,76
900	3,82	1400	2,46	1900	1,81	2800	1,23	4600	0,75
925	3,72	1425	2,41	1925	1,78	2850	1,21	4700	0,73
950	3,62	1450	2,37	1950	1,76	2900	1,18	4800	0,72
975	3,53	1475	2,33	1975	1,74	2950	1,16	4900	0,70

Формулы (14) и (15) позволяют вычислять исправленные углы  $\beta_2'$  и  $\beta_3'$  в полевых условиях достаточно быстро, за пять—десять минут.

Пример вычислений по предложенным формулам. При перенесении проекта ВЛ в натуре точка  $B$  сместилась в положение  $B'$  (см. рис. 1). Углы поворота ВЛ левые, отклонение от оси линии вправо. Три необходимые условия выдерживаются.

Исходные данные:

$$S_1=2250 \text{ м}; \quad S_2=1938 \text{ м}; \quad \beta_2=140^{\circ}10'; \quad \beta_3=203^{\circ}37'.$$

Измеренные величины:

$$h_1=5,1 \text{ м}; \quad h_2=4,1 \text{ м}; \quad \Delta S=2,9 \text{ м}.$$

По табл. 1 находим  $h_{1\max}=22$  м. Так как  $h_1=5,1$  м, то условие  $h_1 < h_{1\max}$  выполняется.

По аргументам  $S_1$ ;  $S_2$  из табл. 2 определяем  $E_1=1',53$  и  $E_2=1',77$ . Подставляя  $\beta_2$ ;  $\beta_3$ ;  $h_1$ ;  $h_2$ ;  $E_1$ ;  $E_2$  выражения (14), получаем

$$\beta_2'=\beta_2-E_1 \cdot h_1-E_2 \cdot h_2=140^{\circ}10'-1',5 \cdot 5,1-1',8 \cdot 4,1=139^{\circ}55',$$

$$\beta_3'=\beta_3+E_2 \cdot h_2=203^{\circ}37'+1',8 \cdot 4,1=203^{\circ}44'.$$

Откладываем в точке  $B'$  угол  $\beta_2'=139^{\circ}55'$  и делаем разбивку трассы на участке  $B'C$ , затем в точке  $C$  откладываем угол  $\beta_3'=203^{\circ}44'$  и выводим трассу ВЛ на заданное направление. Невязку  $\Delta S=2,9$  м распределяем на один или два пролета участка  $B'C$ .

Если отклонение пунктов от оси трассы ВЛ не удовлетворяет трем поставленным выше требованиям, следует определить поправку  $\mu_1$  по формуле (4), ввести ее в угол поворота  $\beta_1$  и повторить разбивку от точки  $A$ .

В геодезической литературе известен ряд способов учета отклонения пунктов от намеченного положения. Большинство из них сводится к отысканию створа заданной линии при невидимости между ее конечными точками (например, способы В. Д. Большакова [1] и В. И. Шишкина [3]). Эти способы громоздки и применимы лишь тогда, когда трасса ВЛ должна обязательно проходить по заданному направлению. Способ-

бом определения поправок  $\mu_1$  и  $\mu_2$  при внецентренном положении инструмента [2] трудно воспользоваться из-за частой невидимости между пунктами  $B$  и  $C$  (см. рис. 1), и он уступает предложенному методу в скорости вычисления величины поправок.

Наш способ учета отклонения трассы ВЛ от намеченного направления ограничивает проведение повторных геодезических работ при выносе проекта ВЛ в натуре.

Формулы (14) и (15) и табл. 1 и 2 просты и удобны для работы в полевых условиях.

Практическое применение предложенного метода дало хорошие результаты.

#### ЛИТЕРАТУРА

1. Большаков В. Д. Способ отыскания створа при разбивке местоположения промежуточных опор линий электропередачи. — «Электрические станции», 1956, № 10.
2. Шилов П. И. Геодезия. М., Геодезиздат, 1956.
3. Шишкин В. И. Постройка геодезических знаков. М., Геодезиздат, 1961.

Работа поступила в редакцию 29 октября 1971 года. Рекомендована кафедрой геодезии Львовского ордена Ленина политехнического института.